

Дополнительные материалы

Антипролиферативная активность комплекса палладия(II) с ациклическим диаминокарбеновым лигандом

М.В. Кашина, М. А. Кинжалов

Санкт-Петербургский государственный университет, Россия, 199034, Санкт-
Петербург, Россия

e-mail: m.kinzhalov@spbu.ru

Supporting information

Antiproliferative activity of a palladium(II) acyclic diaminocarbene complex

M.V. Kashina, M.A. Kinzhalov

St. Petersburg State University, Russia, 199034, Saint Petersburg,
Russia

e-mail: m.kinzhalov@spbu.ru

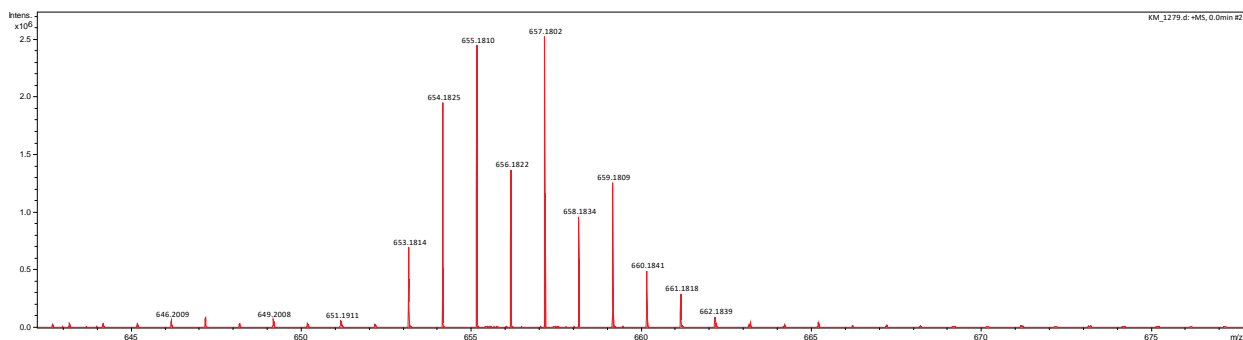


Рисунок S1. Масс-спектр комплекса 1.

Figure S1. Mass-spectrum of 1.

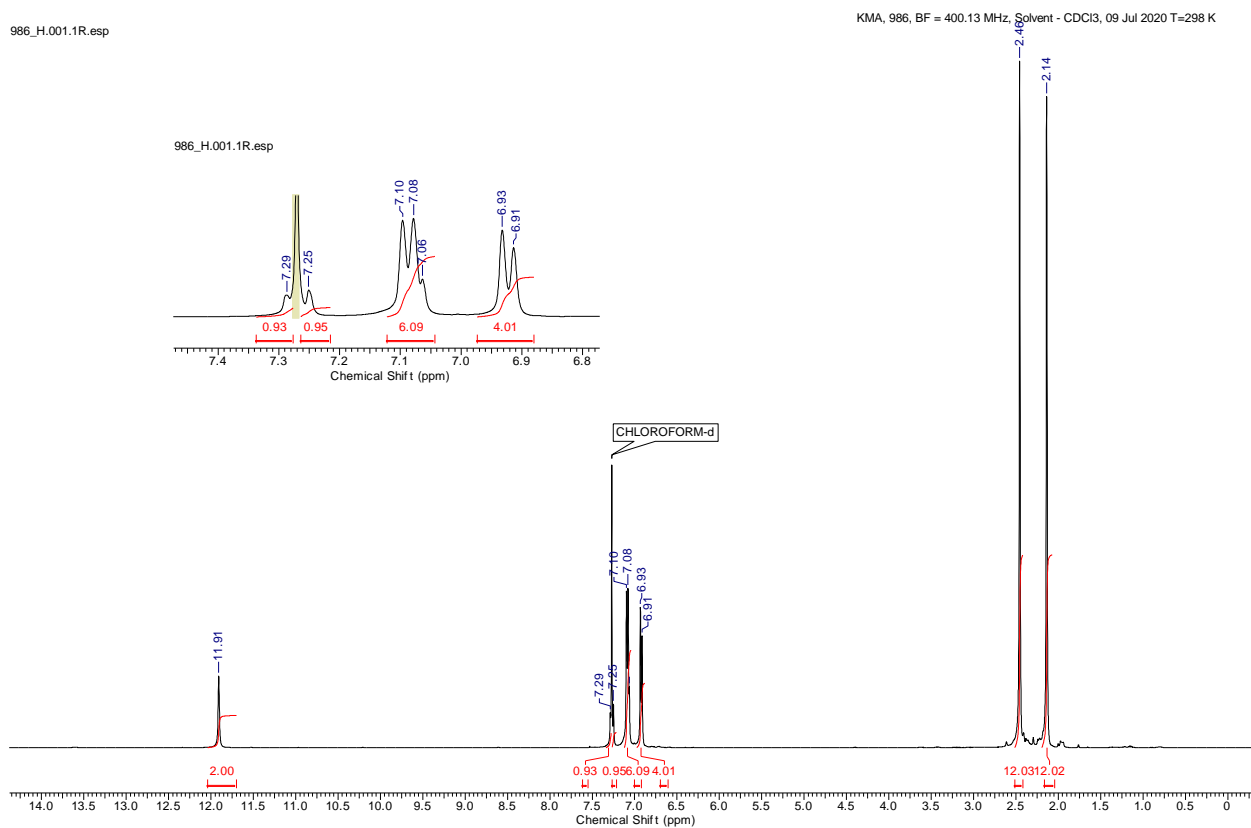


Рисунок S1. Спектр ЯМР ^1H комплекса 1 в CDCl_3 .

Figure S2. ^1H NMR spectrum of 1 in CDCl_3 .

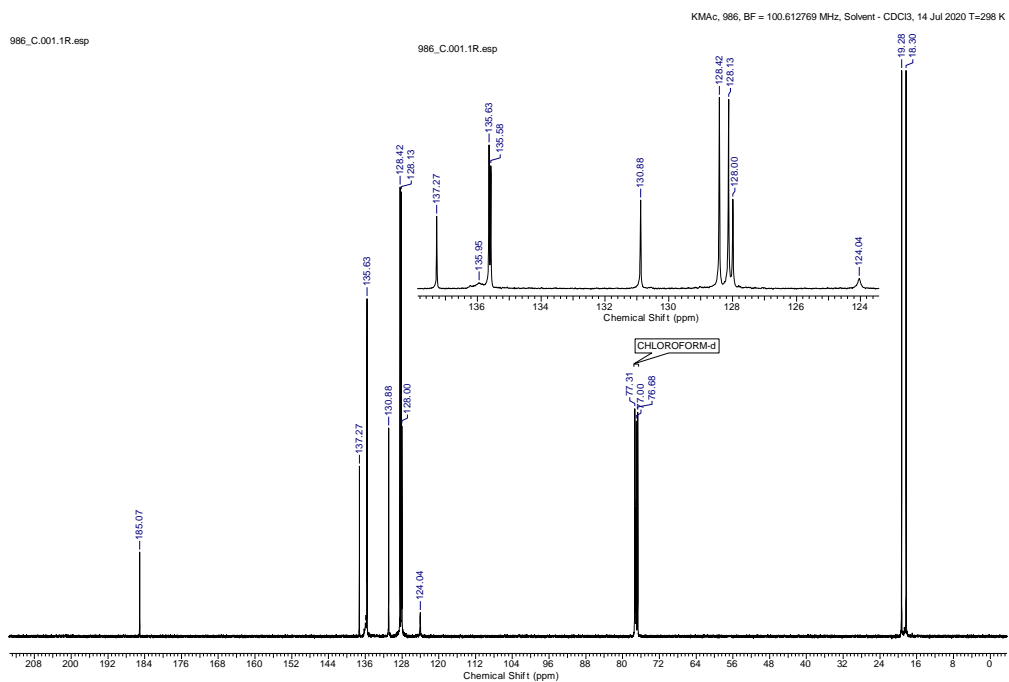


Рисунок S3. Спектр ЯМР $^{13}\text{C}\{^1\text{H}\}$ комплекса **1** в CDCl_3 .

Figure S3. $^{13}\text{C}\{^1\text{H}\}$ spectrum of **1** in CDCl_3 .

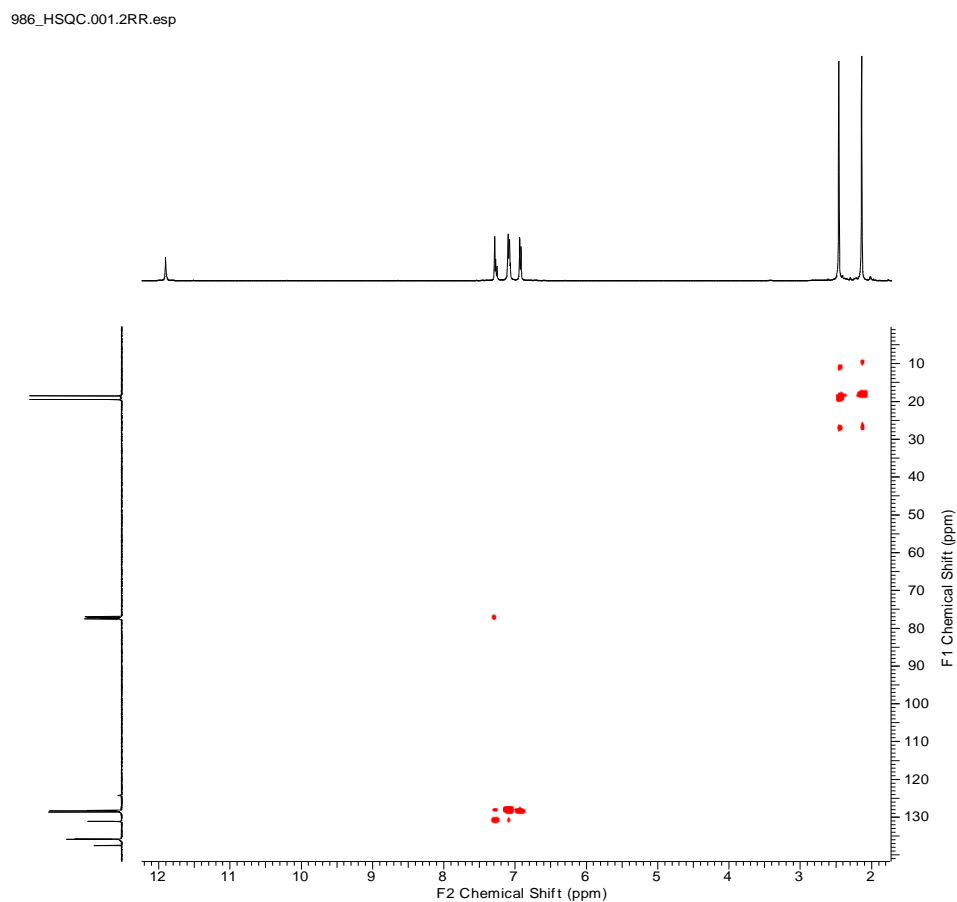


Рисунок S4. Спектр ЯМР ^1H , ^{13}C -HSQC комплекса **1** в CDCl_3 .

Figure S4. ^1H , ^{13}C -HSQC NMR spectrum of **1** in CDCl_3 .

986_HSQC.001.2RR.esp

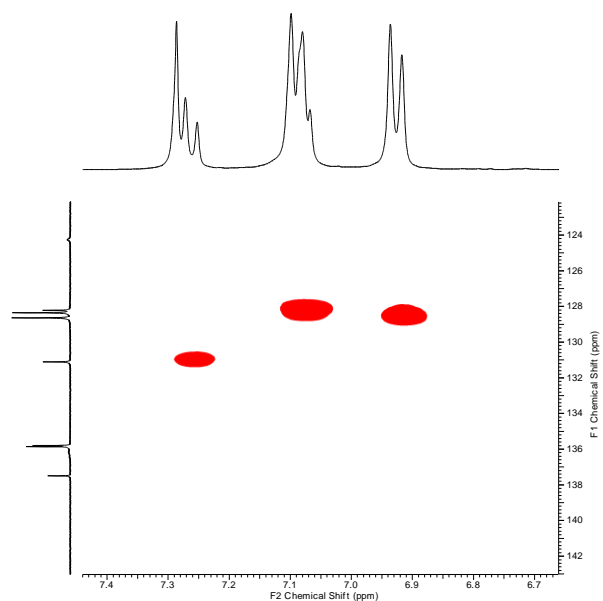


Рисунок S5. Фрагмент спектра ЯМР ¹H, ¹³C-HSQC комплекса **1** в CDCl₃.

Figure S5. Fragment of the ¹H, ¹³C-HSQC NMR spectrum of **1** in CDCl₃.

986_HMBC.001.2RR.esp

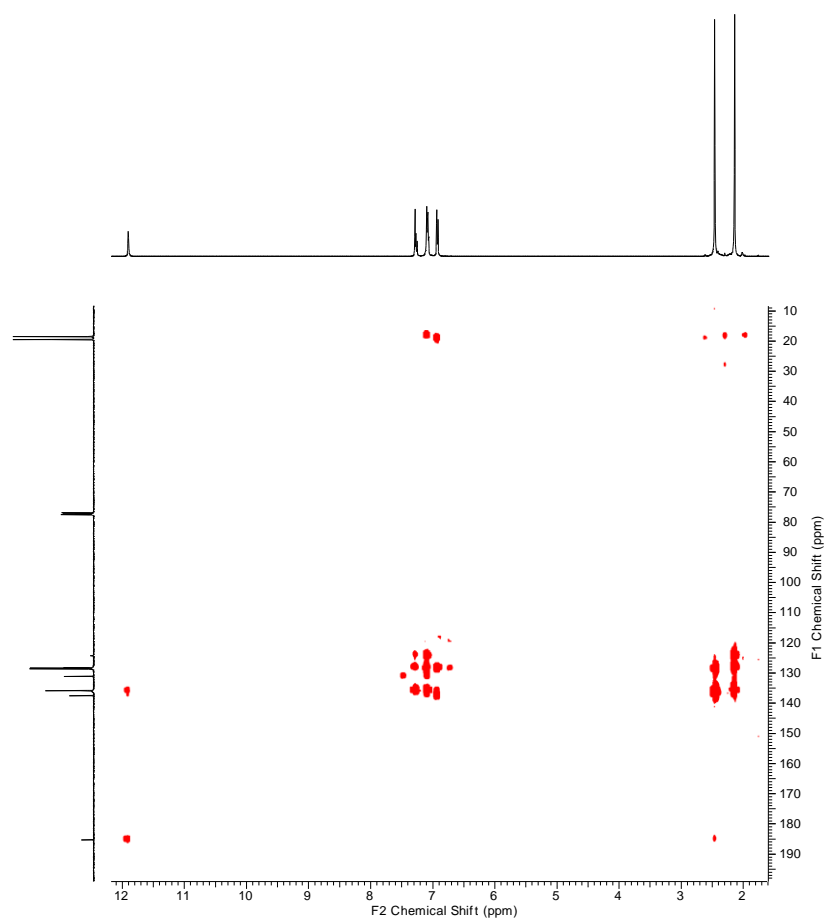


Рисунок S6. Спектр ЯМР ¹H, ¹³C-HMBC комплекса **1** в CDCl₃.

Figure S6. ¹H, ¹³C- HMBC NMR spectrum of **1** in CDCl₃.

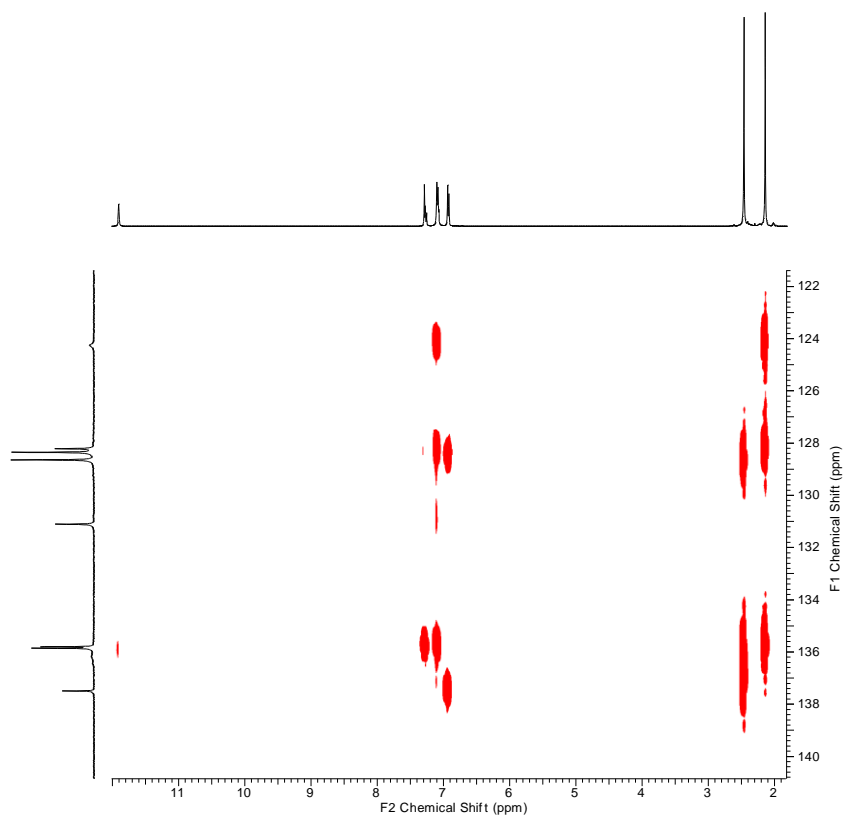


Рисунок S7. Фрагмент спектра ЯМР ^1H , ^{13}C -HMBC комплекса **1** в CDCl_3 .

Figure S7. Fragment of the ^1H , ^{13}C -HMBC NMR spectrum of **1** in CDCl_3 .

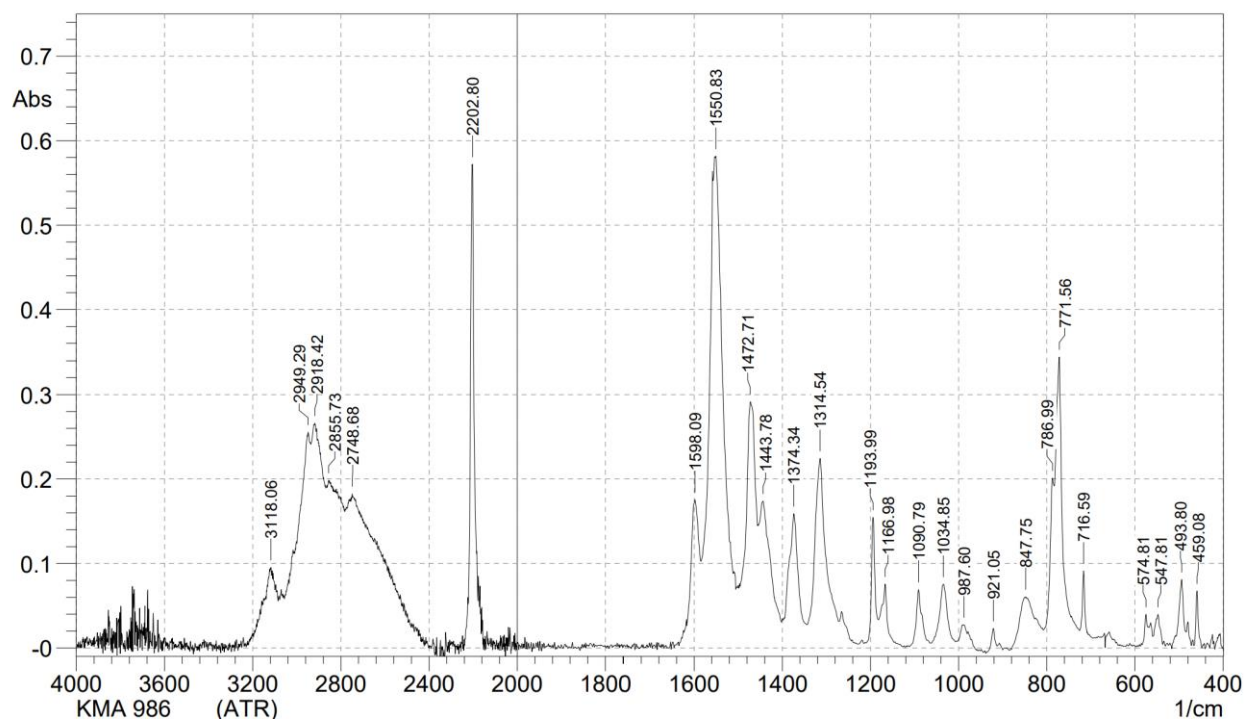


Рисунок S8. ИК-спектр комплекса **1** в BaSO_4 .

Figure S8. FTIR spectra of **1** in BaSO_4 .

Таблица S1. Декартовы атомные координаты структуры комплекса **1**.**Table S1.** Cartesian atomic coordinates for structure of **1**.

	X	Y	Z
Pd	7.39	1.27	8.56
Cl	6.44	1.41	6.41
N	8.58	-0.12	10.83
H	9.09	-0.13	11.52
N	8.51	2.11	11.15
H	8.82	1.94	11.93
N	9.93	2.54	7.28
C	9.02	2.13	7.84
N	4.83	-0.18	9.59
C	5.77	0.36	9.24
C	8.24	1.08	10.37
C	8.44	-3.20	8.73
H	8.84	-3.57	7.98
C	3.23	0.70	11.79
H	2.51	0.87	12.40
H	3.27	1.40	11.13
H	4.06	0.67	12.27
C	7.06	4.08	10.82
C	8.34	3.50	10.82
C	12.59	1.48	7.56
H	12.33	1.79	8.43
H	13.53	1.33	7.54
H	12.12	0.67	7.36
C	10.94	3.05	6.44
C	8.82	-1.91	9.15
C	9.50	4.26	10.64
C	6.97	5.45	10.55
H	6.14	5.86	10.55
C	10.55	4.04	5.52
C	5.81	3.29	11.09
H	5.53	2.85	10.28
H	5.12	3.88	11.40

H	5.99	2.63	11.76
C	8.20	-1.39	10.28
C	2.03	-1.51	11.53
H	1.51	-1.30	12.27
C	3.55	-2.18	9.26
C	3.76	-1.01	9.99
C	10.86	3.62	10.77
H	10.89	3.12	11.59
H	11.53	4.30	10.78
H	11.01	3.03	10.03
C	3.01	-0.62	11.10
C	4.34	-2.50	8.02
H	4.51	-1.69	7.54
H	3.85	-3.11	7.47
H	5.18	-2.90	8.27
C	11.53	4.48	4.64
H	11.31	5.12	4.00
C	7.48	-3.91	9.42
H	7.24	-4.76	9.13
C	8.11	6.20	10.31
H	8.02	7.11	10.10
C	6.57	-1.52	12.22
H	7.22	-1.48	12.93
H	5.84	-2.08	12.48
H	6.25	-0.64	12.02
C	12.23	2.53	6.54
C	12.82	3.97	4.70
H	13.46	4.27	4.09
C	7.22	-2.10	10.99
C	9.89	-1.18	8.38
H	10.50	-1.81	7.99
H	10.36	-0.59	8.98
H	9.48	-0.66	7.68
C	6.87	-3.37	10.53
H	6.21	-3.85	10.98
C	9.36	5.62	10.36
H	10.12	6.14	10.21

C	13.17	3.03	5.64
H	14.04	2.72	5.68
C	2.56	-3.03	9.74
H	2.39	-3.83	9.29
C	9.16	4.59	5.54
H	8.53	3.89	5.38
H	9.08	5.27	4.86
H	8.99	4.99	6.40
C	1.82	-2.71	10.86
H	1.17	-3.30	11.17
Cl	9.82	0.69	13.60